

### III-112 載荷速度および荷重履歴を考慮した場合の粘弹性地盤の沈下について

秋田大学 (正) 赤木知之

#### 1. 緒言

材料の力学特性の1つである変形係数は、載荷速度の遅い場合よりも、載荷速度の速い場合において、より大きく得られる。この現象は速度効果と呼ばれ、実験的に確かめられる周知の事実である。また、その応力ひずみ関係は、もし載荷が瞬間的であれば弾性限度内において線形となるが、載荷速度が遅くなれば、弾性限度内においても非線形の現象を呈するようになる。石原<sup>1)</sup>も指摘しているように、この現象は材料の粘弹性挙動の1つとして解釈され、線形粘弹性理論の範囲内で説明することができる。また、持続荷重に対するクリープ変形が、過去の荷重履歴によって著しく異なる場合があり、その現象も線形粘弹性理論によて説明できる。

一般的に複雑な載荷形式を用いる地盤あるいは岩盤の平板載荷試験では、上記の現象に留意した解析を行なう必要がある。本報告は、線形粘弹性地盤における平板載荷試験において、種々の載荷形式に対する沈下挙動を解析したものである。実際の観測例との比較はないが、荷重レベルだけでクリープ変形を評価できないことを、具体的な数値計算例として示している。

#### 2. 種々の載荷形式に対する載荷円板の沈下計算式

半無限粘弹性体の表面に置かれた半径  $a$  の剛円板に、荷重  $P(t)$  を加えた場合、円板の沈下は次式で与えられる。ただし、 $\nu$  はボアソン比で、時間的变化はないものとする。

$$w(t) = \frac{1-\nu^2}{2a} \int_0^t J(t-\tau) \cdot \frac{dP(\tau)}{dt} d\tau, \quad J(t) = J_0 + \sum_{i=1}^n J_i (1 - e^{-(t-t_i)/T_i}) \quad (1)$$

$J(t)$  はクリープ函数と呼ばれ、粘弹性材料を特徴づける函数であり、一般化 Voigt モデルに対応している。仕事の荷重条件に対して式(1)の積分を行なえば、先述の現象を説明する式を得ることがができる。

図-1に示した載荷パターンに対し、式(1)の積分を行なう。図において、それぞれの荷重状態に対する段階を、Ⓐ, Ⓑ, Ⓒ, Ⓓ, Ⓔ, ……と名付ける。オーバードラフでの載荷速度を  $P_v$  とし、その後の段階の速度を、 $m_1 P_v$ ,  $m_2 P_v$ , …などと表わすものとすると、各段階における沈下量は、それぞれ、つぎのように与えられる。

段階Ⓐ； 載荷速度 =  $P_v$ ,  $0 \leq t \leq t_1$ .

$$w(t) = \frac{(1-\nu^2)P_v}{2a} [J_0 t + \sum_{i=1}^n J_i \{t - T_i (e^{\frac{t}{T_i}} - 1) e^{-\frac{T_i}{T_i}}\}] \quad (2)$$

段階Ⓑ； 持続荷重,  $t_1 \leq t \leq t_2$

$$w(t) = \frac{(1-\nu^2)P_v}{2a} [J_0 t + \sum_{i=1}^n J_i \{t - T_i (e^{\frac{t}{T_i}} - 1) e^{-\frac{T_i}{T_i}}\}] \quad (3)$$

段階Ⓒ； 載荷速度 =  $m_1 P_v$ ,  $t_2 \leq t \leq t_3$

$$w(t) = \frac{(1-\nu^2)P_v}{2a} \left[ \{t_1 + m_1(t-t_2)\} J_0 + \sum_{i=1}^n J_i \{t_1 + m_1(t-t_2)\} - T_i \{e^{\frac{t}{T_i}} - 1\} + m_1 (e^{\frac{t}{T_i}} - e^{\frac{t_2}{T_i}}) \right] e^{-\frac{T_i}{T_i}} \quad (4)$$

段階Ⓓ； 持続荷重,  $t_3 \leq t \leq t_4$

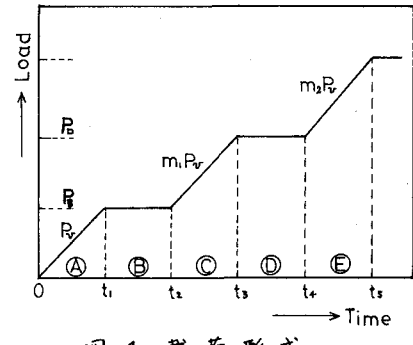


図-1 載荷形式

$$w(t) = \frac{(1-\nu^2)P_0}{2a} \left[ \{t_i - m_i(t_3 - t_2)\} J_0 + \sum_{i=1}^n J_i \left\{ \{t_i + m_i(t_3 - t_2)\} - T_i \left\{ (e^{t/T_i} - 1) + m_i(e^{t/T_i} - e^{t_3/T_i}) \right\} e^{-t/T_i} \right\} \right] \quad (5)$$

段階③： 載荷速度 =  $m_2 P_0$ ,  $t_4 \leq t \leq t_5$

$$w(t) = \frac{(1-\nu^2)P_0}{2a} \left[ \{t_i + m_i(t_3 - t_2) + m_2(t - t_4)\} J_0 + \sum_{i=1}^n J_i \left\{ \{t_i + m_i(t_3 - t_2) + m_2(t - t_4)\} - T_i \left\{ (e^{t/T_i} - 1) + m_i(e^{t/T_i} - e^{t_3/T_i}) + m_2(e^{t/T_i} - e^{t_4/T_i}) \right\} e^{-t/T_i} \right\} \right] \quad (6)$$

以下の段階は、荷重の変化とともに同形式の項が増すだけで、同様に得られる。 $m_i > 0$  であれば荷重増加を示し、除荷に対する条件は  $m_i < 0$  とすればよい。

先述した荷重一沈下関係の非線形性は、式(2)から説明できる。式においてオ1項目は弾性項であり、オ2項目以降は粘弾性沈下に伴う付加項である。所定の荷重に至るまでの時間もが小さければこれらの付加項は零に近づき、関係は弾性的となるが、その時間が大きければ、すなわち載荷速度が遅ければ、付加項は大きくなり、非線形性が顕著に現われ、変形係数は小さくなる。簡単な数値計算例を図-2に示す。粘弾性定数として、 $\eta = 1$ ,  $J_0 = 1$ ,  $J_1 = 2$ ,  $T_1 = 10$  と与え、載荷速度  $P_0$  をパラメータとしている。

### 3. 荷重履歴を考慮したクリープ沈下計算

地盤あるいは岩盤に持続荷重を加えてそのクリープ挙動を調べる場合、一般に荷重を持続させる以前に載荷が行なわれている例が多い。

いま、図-1に示した載荷形式に対し、段階③および段階④でのクリープ沈下は式(2)～式(5)を用いて、つきのようにあらわされる。

段階③：  $t_1 \leq t \leq t_2$

$$w_c(t) = w(t) - w(t_1) = \frac{(1-\nu^2)P_0}{2a} \sum_{i=1}^n J_i T_i (e^{t/T_i} - 1) (e^{t_1/T_i} - e^{t_2/T_i}) \quad (7)$$

段階④：  $t_3 \leq t \leq t_4$

$$w_c(t) = w(t) - w(t_3) = \frac{(1-\nu^2)P_0}{2a} \sum_{i=1}^n J_i T_i \left\{ (e^{t/T_i} - 1) + m_i(e^{t/T_i} - e^{t_3/T_i}) \right\} (e^{-t_3/T_i} - e^{-t_4/T_i}) \quad (8)$$

すなわち、上式から持続荷重に至る以前の荷重条件が異なれば、その履歴によってクリープの表示式に付加的な項が加わるのがわかる。したがって、 $m_i > 0$  であれば、段階④より段階②の方が高い荷重レベルになるが、各段階でのクリープ量は  $m_i$  の大小により異なるので、どちらが大きいとも言えない。簡単な計算例として、図-2と同様の粘弾性定数を用い、段階④での荷重を  $P_0 = 10$ 、段階②では  $P_0 = 20$ とした場合について、 $m_i$  をパラメータとして計算した結果を図-3に示す。 $m_i$  の大小、すなわち以前の荷重条件によってクリープ沈下量を異にするのがわかる。

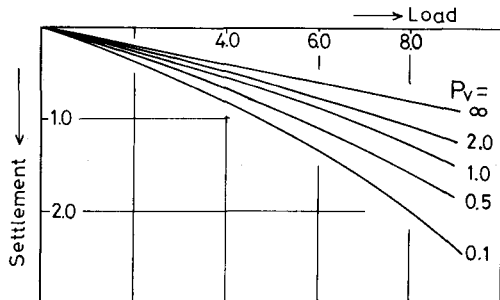


図-2 様々の載荷速度に対する  
段階④での沈下

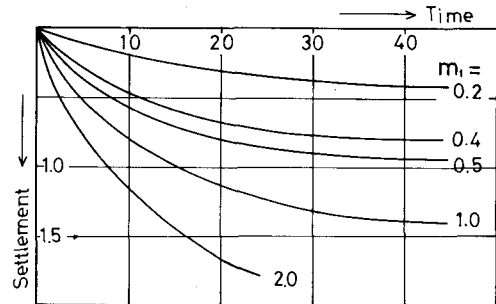


図-3 荷重履歴を考慮した場合の  
クリープ曲線

### 参考文献

- 1). K. Ishihara : Effect of rate of loading on the Modulus of deformation of materials exhibiting viscoelastic behaviors , Proc. J.S.C.E, No.117, 1965-5